

О ВЛИЯНИИ ТОКОВ ХОЛЛА НА ТЕЧЕНИЕ ПРОВОДЯЩЕГО ГАЗА  
ПРИ БОЛЬШИХ СКОРОСТЯХ ПОТОКОВ

Г. М. Бам-Зеликович

(Москва)

В работе [1] рассмотрено течение сжимаемой жидкости при учете эффекта Холла для случая, когда проводимость  $\sigma = \infty$ . В работе [2] задача о влиянии токов Холла на течение в ускорителе решается для каналов с очень малым отношением высоты канала к его длине, когда можно полагать проекцию скорости на направление высоты канала равной нулю. Ниже решается задача о влиянии токов Холла на течение проводящего газа при конечной проводимости и с учетом наличия двух компонент скорости для случая ускорения газа до больших скоростей ( $\sim 50 \div 100$  км / сек).

1. Рассмотрим установившееся движение проводящего газа в канале прямоугольной формы с постоянной площадью сечения. Направим ось  $x$  вдоль оси канала, ось  $y$  — по высоте канала и ось  $z$  — перпендикулярно к боковым стенкам канала. Основные предположения, при которых будет решаться задача о влиянии на течение газа в канале ускорителя токов Холла, следующие.

1. Внешнее магнитное поле имеет одну компоненту, направленную по оси  $z$ , величина которой  $H_z = H(x)$  может зависеть от  $x$ . Строго говоря, при  $H \neq \text{const}$  будет также отличная от нуля компонента  $H_x$ , равная по порядку величине  $H_x \sim (z_0 / L) \Delta H$ , где  $z_0$  — ширина канала,  $L$  — его длина и  $\Delta H$  — характерная величина изменения  $H$ . В дальнейшем будем предполагать, что либо  $\Delta H \ll H$ , либо  $z_0 / L \ll 1$ . В обоих случаях  $H_x \ll H$  так что компонентой магнитного поля вдоль оси  $x$  можно пренебречь.

2. Магнитное число Рейнольдса  $R_m \ll 1$ ; индуцированным магнитным полем можно пренебречь по сравнению с внешним.

3. Можно пренебречь влиянием вязкости.

4. К верхней и нижней стенкам канала приложена переменная по длине разность потенциалов  $\varphi(x)$ , но такая, что составляющая внешнего электрического поля по оси  $x$  мала по сравнению с компонентой вдоль оси  $y$ .

5. Искажения электрического поля у границ канала мало влияют на движение газа в рассматриваемой области канала.

6. Проводимость  $\sigma$  постоянна в рассматриваемой области течения; также постоянна величина  $k = \omega\tau$ , где  $\omega$  — циклотронная частота вращения электронов, а  $\tau$  — время свободного пробега электрона. При этом будем предполагать, что величина  $k$  не очень мала (токи Холла существенны), но все же  $k < 1$ , так что  $1 + k^2 \approx 1$  (например  $k \approx 0.1 \div 0.3$ ).

7. Движение можно рассматривать как двумерное, т. е. граничные условия таковы, что все искомые величины не зависят от координаты  $z$ .

8. Газ совершенный и подчиняется уравнению состояния Клайперона.

9. Во всем дальнейшем будет рассматриваться ускорение в сильных электромагнитных полях, когда характерные значения скорости достигают величин  $u \sim 5 \cdot 10^6 \div 10^7$  см / сек.

При сделанных предположениях можно пренебречь в уравнениях движения градиентом давления по сравнению с инерционными членами.

Действительно, принимая, что в процессе движения все переменные изменяются на порядок своей величины и оценивая по порядку величин члены в проекции уравнения движения на ось  $x$ , имеем

$$p_x' / \rho u u_x' \sim RT / u^2$$

Здесь  $p$  — давление,  $\rho$  — плотность,  $T$  — температура газа,  $u$  — проекция скорости газа на ось  $x$  и  $R$  — газовая постоянная.

Это отношение для многих газов и паров щелочных металлов при рассматриваемых скоростях  $u$  имеет значение порядка 0.001 и меньше даже для температур  $T \sim 10^4$  К.

Оценка членов в проекции уравнения движения на ось  $y$  дает

$$p_y' / \rho v v_x' \sim (RT / u^2) (L^2 / y_0^2)$$

Здесь  $v$  — проекция скорости газа на ось  $y$  и  $y_0$  — высота канала. При выводе этого соотношения учтено, что  $v / u \sim y_0 / L$ . При длине канала, в 5 ÷ 10 раз большей его высоты, и тех же параметрах потока, что и выше, правая часть равна 0.025 ÷ 0.1.

Закон Ома в рассматриваемом случае имеет вид (см., например, [3])

$$\mathbf{j} = \sigma (\mathbf{E} + \mathbf{V} \times \mathbf{H} / c) - k (\mathbf{j} \times \mathbf{H}) / H$$

Здесь  $\mathbf{j}$  — плотность тока,  $\mathbf{E}$  — напряженность электрического,  $\mathbf{H}$  — магнитного поля,  $\mathbf{V}$  — скорость потока и  $c$  — скорость света в пустоте.

Разрешая его относительно проекций плотности тока на оси  $x$  и  $y$  и учитывая сделанные выше предположения относительно электрического и магнитного полей, получим

$$j_x = [\sigma / (1 + k^2)] [E_x + vH / c - k (E_y - uH / c)] \quad (1.1)$$

$$j_y = [\sigma / (1 + k^2)] [E_y - uH / c + k (E_x + vH / c)] \quad (1.2)$$

Уравнение неразрывности электрического тока  $\partial j_x / \partial x + \partial j_y / \partial y = 0$  при этом дает

$$E_y' + (H / c) [v_x' - u_y' + k (u_x' + v_y')] = 0 \quad (1.3)$$

Здесь  $E_y = E$ , а штрихи и индексы обозначают частные производные. При выводе (1.3) учтено, что  $\text{rot } \mathbf{E} = 0$ , а также то, что в силу сделанных предположений  $\partial E_x / \partial x \sim (y_0^2 / L^2) \partial E / \partial y$  и, следовательно,  $\partial E_x / \partial x$  может быть отброшена как малая величина. Уравнения неразрывности и движения с учетом сделанных оценок принимают вид

$$\begin{aligned} (\rho u)_{x'} + (\rho v)_{y'} &= 0, & \rho u u_{x'} + \rho v u_{y'} &= H j_y / c \\ \rho v v_{x'} + \rho v v_{y'} &= -H j_x / c \end{aligned} \quad (1.4)$$

Система уравнений (1.1) — (1.4) представляет замкнутую систему шести уравнений относительно шести неизвестных функций  $\rho$ ,  $u$ ,  $v$ ,  $E$ ,  $j_x$  и  $j_y$ .

Граничные условия для нее могут быть приняты в следующем виде: в некотором сечении  $\tau = 0$ , где влияние токов Холла еще не сказалось, можно считать заданными все параметры

$$u = u_{00} = \text{const}, \quad v = 0, \quad \rho = \rho_{00} = \text{const} \quad \text{при } x = 0 \quad (1.5)$$

Кроме того, на верхней и нижней стенках имеем

$$v = 0 \quad \text{при } y = 0 \text{ и } y = y_0, \quad \int_0^{y_0} E dy = \varphi(x) \quad (1.6)$$

Последнее условие выражает то, что разность потенциалов между верхней и нижней стенками канала — заданная величина.

Решение системы (1.1) — (1.4) в общем случае возможно только численными методами. Поэтому будем искать приближенное решение, раскладывая все искомые величины в ряды по степеням  $k$  и ограничиваясь линейными относительно  $k$  членами. Положим

$$u = u_0 + k u_1, \quad v = v_0 + k v_1, \quad \rho = \rho_0 + k \rho_1, \quad E = E_0 + k E_1 \quad (1.7)$$

Не проводя вычислений, можно сделать некоторые общие замечания о картине течения в рассматриваемом случае. В отсутствие токов Холла ( $k = 0$ ) движение в канале при сделанных предположениях было бы одномерным. Токи Холла приводят к возникновению силы, направленной по оси  $y$  и действующей на все частицы газа. Эта сила вызывает движение в направлении оси  $y$ . Сделанные выше оценки показывают, что в рассматриваемом случае скорость частиц  $v$  в направлении оси  $y$  будет сверхзвуковая.

Так как влиянием вязкости пренебрегаем, то частицы газа, приобретаемая скорость в направлении оси  $y$ , отрываются от нижней стенки. У нижней стенки возникает область вакуума. В реальных условиях вследствие действия вязкости и диффузии абсолютного вакуума не будет, а будет зона с крайне малой плотностью. Поэтому можно предполагать, что эта зона обладает конечной проводимостью.

У верхней стенки канала должно происходить торможение от сверхзвуковой скорости  $v$  до  $v = 0$ . При этом будет возникать у верхней стенки скачок уплотнения. Таким образом, в рассматриваемом случае течение в канале распадается на три зоны: зону вакуума у нижней стенки, ядро потока в канале и зону за скачком уплотнения у верхней стенки.

Если  $y_0 - y^1$  — высота зоны за скачком уплотнения, то аналогично (1.7) можно записать  $y_0 - y^1 = y_0^1 + ky_1^1$ . Но при отсутствии токов Холла ( $k = 0$ ) скачка нет, т. е.  $y_0^1 = 0$ . Такие же рассуждения справедливы и о высоте зоны вакуума у нижней стенки. Таким образом, можно заключить, что отношение высоты зоны вакуума и высоты зоны за скачком уплотнения к высоте канала должно быть порядка  $k$ .

2. Рассмотрим течение в ядре потока. Так как  $u_0, v_0, \rho_0, E_0$  — значения переменных в случае, когда токов Холла нет ( $k = 0$ ) и движение в канале одномерное, то  $v_0 = 0$ , а  $u_0, \rho_0$  и  $E_0$  могут зависеть только от  $x$ . Замечая это, подставим выражения (1.7) в (1.3), (1.4), исключив предварительно  $j_x$  и  $j_y$ , и в граничные условия (1.5), (1.6). Приравнявая члены с одинаковыми степенями  $k$ , получим системы уравнений для определения величин нулевого и первого приближений

$$v_0 = 0, \quad u_{0y}' = 0, \quad E_{0y}' = 0 \quad (2.1)$$

$$\begin{aligned} (\rho_0 u_0)_x' &= 0, & \rho_0 u_0 u_{0x}' &= (\sigma H / c) (E_0 - u_0 H / c) \\ u_0 &= u_{00}, \quad \rho_0 = \rho_{00} & \text{при } x = 0, & \int_0^{y_0} E_0 dy = \varphi(x) \end{aligned} \quad (2.2)$$

$$\begin{aligned} (\rho_0 u_1 + \rho_1 u_0)_x' + (\rho_0 v_1)_y' &= 0 \\ (\rho_0 u_1 + \rho_1 u_0) u_{0x}' + \rho_0 u_0 u_{1x}' &= (\sigma H / c) (E_1 - H u_1 / c) \\ \rho_0 u_0 v_{1x}' &= -(\sigma H / c) (H v_1 / c - E_0 + H u_0 / c) \\ E_{1y}' + (H / c) (v_{1x}' - u_{1y}' + u_{0x}') &= 0 \end{aligned} \quad (2.3)$$

$$u_1 = 0, \quad v_1 = 0, \quad \rho_1 = 0 \quad \text{при } x = 0, \quad \int_0^{y_0} E_1 dy = 0 \quad (2.4)$$

Здесь интеграл от  $E_1$  взят по всей высоте канала, а не только по высоте ядра потока. Это можно делать с принятой степенью точности потому, что, как было указано выше, разность высот ядра потока и всего канала будет порядка  $k$ . Но интеграл (2.4) сам является коэффициентом в члене порядка  $k$  разложения в ряд интеграла (1.6). Поэтому изменение пределов интегрирования приводит к поправке порядка лишь  $k^2$ , т. е. к поправке такого порядка, которым всюду пренебрегаем.

Интегрируя уравнения (2.4) и учитывая условия (2.2), найдем

$$\rho_0 u_0 = \rho_{00} u_{00}, \quad E_0 = \varphi / y_0 \quad (2.5)$$

$$u_0 = e^{-\Lambda(x)} \left\{ z_{00} + \frac{\sigma}{c \rho_{00} u_{00} y_0} \int_0^x H \varphi e^{\Lambda(x)} dx \right\}, \quad \Lambda(x) = \frac{\sigma}{c^2 \rho_{00} u_{00}} \int_0^x H^2 dx$$

Система уравнений (2.3) для функций первого приближения является системой четырех линейных уравнений первого порядка в частных производных. Ее решение удастся свести к вычислению квадратур.

Подставим полученные для  $u_0$ ,  $\rho_0$  и  $E_0$  выражения в третье уравнение (2.3). Оно оказывается линейным уравнением относительно неизвестной функции  $v_1$ , не содержащим производной  $v_{1y}'$ ; коэффициенты этого уравнения зависят только от  $x$ . Интегрируя его по  $x$  и учитывая, что  $v_1 = 0$  при  $x = 0$ , получим

$$v_1 = e^{-\Lambda(x)} \left\{ \frac{\sigma}{c \rho_{00} u_{00} y_0} \int_0^x H \varphi e^{\Lambda(x)} dx - \frac{\sigma}{c^2 \rho_{00} u_{00}} \int_0^x H^2 u_0 e^{\Lambda(x)} dx \right\} \quad (2.6)$$

Из выражения (2.6) видно, что  $v_1$  является функцией только одного переменного  $x$ . Учитывая это, из первого уравнения (2.3) находим

$$\rho_0 u_1 + \rho_1 u_0 = 0 \quad \rho_1 = -\rho_0 u_1 / u_0 \quad (2.7)$$

При выводе формул (2.7) были использованы граничные условия (2.4) для  $u_1$  и  $\rho_1$ . Исключая  $\rho_1$  из второго и третьего уравнений (2.3), получим систему двух дифференциальных уравнений в частных производных первого порядка для определения неизвестных функций  $u_1$  и  $E_1$

$$u_{1x}' + \frac{\sigma}{c^2 \rho_{00} u_{00}} H^2 u_1 = \frac{\sigma}{c \rho_{00} u_{00}} H E_1, \quad E_{1y}' - \frac{H}{c} u_{1y}' = -\frac{1}{c} H (v_1 + u_0)_x' \quad (2.8)$$

Здесь  $v_1$ ,  $u_0$  и  $H$  — известные функции  $x$ .

Продифференцируем первое уравнение по  $y$  и подставим в полученное соотношение  $E_{1y}'$  из второго уравнения

$$u_{1xy}' = -\sigma H^2 (v_1 + u_0)_x' / c^2 \rho_{00} u_{00}$$

Интегрируя это уравнение дважды по  $x$  и по  $y$  и учитывая условия (2.4), вычислим  $u_1$ , после чего из первого уравнения (2.8) найдем  $E_1$

$$u_1 = -\frac{\sigma}{c^2 \rho_{00} u_{00}} y \int_0^x H^2 (v_1 + u_0)_x' dx + \Phi(x), \quad E_1 = \frac{H}{c} u_1 + \frac{c \rho_{00} u_{00}}{\sigma H} u_{1x}' \quad (2.9)$$

Здесь  $\Phi(x)$  — произвольная функция  $x$ , причем  $\Phi(0) = 0$ , так как  $u_1 = 0$  при  $x = 0$ . Функцию  $\Phi(x)$  определим из последнего условия (2.4). Подставим  $u_1$  в выражение для  $E_1$  и проинтегрируем по  $y$  от нуля до  $y = y_0$ . При этом, так как левая часть обратится в нуль, получим обыкновенное линейное дифференциальное уравнение относительно  $\Phi(x)$

$$\Phi_{x'} + \frac{\sigma H^2}{c^2 \rho_{00} u_{00}} \Phi = \frac{\sigma y_0 H}{2 c^2 \rho_{00} u_{00}} \left\{ \frac{\sigma H}{c^2 \rho_{00} u_{00}} \int_0^x H^2 (v_1 + u_0)_x' dx + H (v_1 + u_0)_x' \right\}$$

Отсюда, учитывая, что  $\Phi(0) = 0$

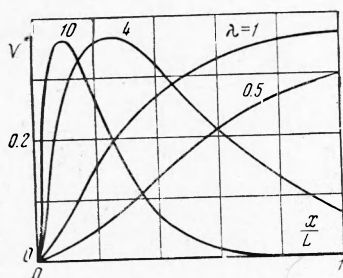
$$\Phi = \frac{\sigma y_0}{2 c^2 \rho_{00} u_{00}} e^{-\Lambda(x)} \int_0^x \left\{ \frac{\sigma H^2}{c^2 \rho_{00} u_{00}} \int_0^x H^2 (v_1 + u_0)_x' dx + H^2 (v_1 + u_0)_x' \right\} e^{\Lambda(x)} dx \quad (2.10)$$

Формулы (2.5) — (2.10) дают решение поставленной задачи при произвольной зависимости магнитного поля  $H$  и разности потенциалов на электродах  $\varphi$  от  $x$ . Если  $H = \text{const}$  и  $\varphi = \text{const}$ , то интегралы, входящие в формулы (2.5) — (2.10), могут быть вычислены.

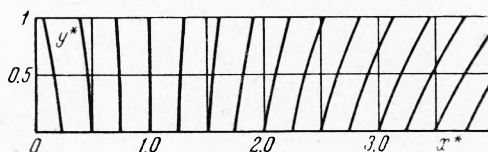
Не проводя выкладок, приведем формулы для этого случая

$$\begin{aligned} u_0 / u_{00} &= 1 + U(1 - e^{-x^*}) + kU(0.5y_0^* - y^*)(x^*e^{-x^*} - e^{-x^*} + 1) \\ v / u_{00} &= kUx^*e^{-x^*}, \quad Ec / Hu_{00} = 1 + U + kU(0.5y_0^* - y^*)(e^{-x^*} + 1) \\ \lambda &= \sigma H^2 L / c^2 \rho_{00} u_{00}, \quad U = -1 + \varphi c / y_0 H u_{00} \\ x^* &= \lambda x / L, \quad y^* = \lambda y / L, \quad y_0^* = \lambda y_0 / L \end{aligned} \quad (2.11)$$

Формулы (2.11) показывают, что при наличии токов Холла проекция  $u$  скорости на ось  $x$  в нижней половине канала ( $y < 0.5 y_0$ ) больше, а в верхней меньше, чем при отсутствии токов Холла (при  $k = 0$ ). Увеличение скорости  $u$  приводит к возникновению большей напряженности электрического поля  $E$  в нижней половине канала. Проекция скорости на ось  $y$ , возникающая при



Фиг. 1



Фиг. 2

наличии токов Холла, в первом приближении оказывается постоянной по сечению. По длине же канала она сначала возрастает, достигая максимума в сечении  $x/L = 1/\lambda$ , а затем убывает. Величина  $\max v = k u_{00} U e^{-1}$  и не зависит от  $\lambda$ . Функция  $v(x/L)$  при различных значениях  $\lambda$  показана на фиг. 1, где  $V^* = v / k u_{00} U$ . Из (2.11) и фиг. 1 видно, что при  $\lambda \geq 1$  сечение, в котором  $v$  достигает максимума, лежит внутри канала, а при  $\lambda < 1$  — вне его. Чем больше  $\lambda$ , тем быстрее изменяется значение  $v$ . Для того чтобы объяснить такое поведение  $v$ , рассмотрим протекание электрического тока в канале. Из формул (1.1) и (1.2) имеем, отбрасывая малые высшего порядка

$$j_y = \sigma(E - uH/c), \quad j_x = \sigma[vH/c - k(E - uH/c)] \quad (2.12)$$

Подставляя в эти формулы значения  $E$ ,  $u$  и  $v$  из (2.11) и сохраняя лишь члены наименьшего порядка малости, получим

$$j_y = (\sigma H u_{00} / c) U e^{-x^*}, \quad j_x = (\sigma H u_{00} / c) k U (x^* - 1) e^{-x^*} \quad (2.13)$$

Отсюда находим дифференциальное уравнение линий электрического тока и сами линии электрического тока ( $X^*$  — значение  $x^*$  при  $y^* = 0$ ).

$$dx^* / dy^* = j_x / j_y = k(x^* - 1), \quad |x^* - 1| = |X^* - 1| e^{ky^*} \quad (2.14)$$

Картина линий электрического тока, вычисленная по формуле (2.14) для  $\lambda = 4$ ,  $k = 0.2$  и  $y_0/L = 0.3$ , показана на фиг. 2. Из формулы (2.13) и фиг. 2 следует, что  $j_x$  при  $x^* > 1$  положительно, а при  $x^* < 1$  отрицательно. Так как  $x^* = \lambda x/L$ , то при  $\lambda > 1$  сечение, где  $j_x$  меняет знак, лежит внутри канала. Это связано с тем, что вначале  $v = 0$  и, как видно из (2.12),  $j_x < 0$ . При больших  $\lambda$  (т. е. в случае сильных магнитных полей) скорость вдоль оси  $u$  быстро достигает значений, близких к  $\max u$ . При этом  $E - uH/c$  становится малой величиной, меньшей  $vH/c$ . Из формулы (2.12) видно, что при этом будет  $j_x > 0$ . Изменение направления проекции электрического тока на ось  $x$  приводит к изменению направления силы, действующей вдоль оси  $y$ . Поэтому, начиная с сечения  $x^* = 1$ , проекция  $v$  скорости на ось  $y$  будет убывать. При  $\lambda < 1$  всюду в канале  $x^* < 1$ . Поэтому при  $\lambda < 1$  скорость  $v$  монотонно возрастает вдоль всего канала.

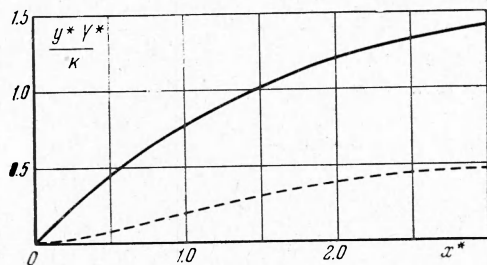
Дифференциальное уравнение линий тока в ядре потока с точностью до членов порядка  $k$  имеет вид

$$dy^*/dx^* = v/u = kUx^* [(1+U)e^{x^*} - U]^{-1}$$

Отсюда, интегрируя, получаем

$$y^* = Y^* + kU \int_0^{x^*} \frac{x^*}{(1+U)e^{x^*} - U} dx^* \quad (2.15)$$

где  $Y^*$  — значение  $y^*$  в начальном сечении для рассматриваемой линии тока. Из (2.15) следует, что в первом приближении линии тока могут быть получены одна из другой сдвигом по оси  $y$ .



Фиг. 3

На фиг. 3 показан вид линий тока в ядре потока, вычисленный по формуле (2.15). Сплошная кривая дает форму линий тока для очень больших значений  $U$  (это соответствует малым значениям  $u_{00}$  по сравнению с максимальной скоростью). Пунктирной кривой показана линия тока при  $U = 1$ .

3. Перейдем к рассмотрению течения за скачком уплотнения, образующимся у верхней стенки канала. Так как течение в ядре потока известно, то задача о течении вблизи верхней стенки канала в рассматриваемом случае аналогична задаче об обтекании тела потоком с большой сверхзвуковой скоростью и может быть решена методами, применяемыми в этом случае [4].

Два обстоятельства позволяют значительно упростить решение рассматриваемой задачи. Прежде всего, оценивая величину  $v$  — проекции скорости за скачком на ось  $y$ , получаем

$$v/u \sim (y_0 - y^1)/L \sim ky_0/L \quad (3.1)$$

Здесь  $y^1$  — координата скачка уплотнения. Так как величина отношения  $y_0/L \sim 0.1 \div 0.3$ , т. е. порядка  $k$ , то из (3.1) следует, что за скачком  $v/u \sim k^2$  и с принятой степенью точности можно полагать за скачком  $v \approx 0$ .

Во-вторых, как указывалось выше, в ядре потока  $RT/v^2$  может быть порядка  $0.025 \div 0.1$ . Поэтому ниже рассмотрим подробно тот случай, когда проекция скорости на нормаль к скачку уплотнения  $u_n$  будет много больше скорости звука. При этом можно приближенно полагать [4]

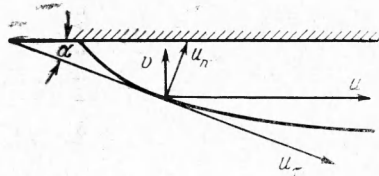
$$\rho^1/\rho^0 = (\kappa + 1)/(\kappa - 1), \quad u_n^1/u_n^0 = (\kappa - 1)/(\kappa + 1) \quad (3.2)$$

Здесь  $\kappa$  — отношение теплоемкостей при постоянном давлении и объеме,  $\rho^1$  — плотность за скачком,  $\rho^0$  — в ядре потока перед скачком,  $u_n^1$  — проекция скорости на нормаль за скачком и  $u_n^0$  — перед скачком. Если газ полностью ионизирован, то можно считать, что при переходе через скачок  $\kappa$  не меняется.

Обозначим через  $u_\tau^0$  проекцию на касательную к скачку уплотнения скорости в ядре потока,  $u_\tau^1$  — скорости за скачком,  $\alpha$  — угол наклона скачка к верхней стенке канала (фиг. 4). Тогда справедливы равенства

$$u^1 = u_\tau^1 \cos \alpha + u_n^1 \sin \alpha, \quad v^1 = -u_\tau^1 \sin \alpha + u_n^1 \cos \alpha \quad (3.3)$$

$$u_\tau = u \cos \alpha - v \sin \alpha, \quad u_n = u \sin \alpha + v \cos \alpha \quad (3.4)$$



Фиг. 4

Так как в нашем случае  $v^1 = 0$ , то из второго равенства (3.3) следует

$$\operatorname{tg} \alpha = u_n^1 / u_\tau^1 = u_n^1 / u_\tau^\circ = [(\kappa - 1) / (\kappa + 1)] u_n^\circ / u_\tau^\circ \quad (3.5)$$

Здесь использовано соотношение (3.2) и то обстоятельство, что касательная составляющая скорости при переходе через скачок не меняет своего значения, т. е.  $u_\tau^1 = u_\tau^\circ$ . Подставляя в (3.5) выражения  $u_n^\circ$  и  $u_\tau^\circ$  из (3.4), получим уравнение для определения  $\operatorname{tg} \alpha$

$$v^\circ \operatorname{tg}^2 \alpha - 2(u^\circ \operatorname{tg} \alpha) / (\kappa + 1) + (\kappa - 1)v^\circ / (\kappa + 1) = 0$$

где  $v^\circ$  и  $u^\circ$  — проекции скорости перед скачком на оси  $y$  и  $x$ . Отсюда

$$\operatorname{tg} \alpha = u^\circ / v^\circ (\kappa + 1) \pm [u^{\circ 2} / v^{\circ 2} (\kappa + 1)^2 - (\kappa - 1) / (\kappa + 1)]^{1/2} \quad (3.6)$$

Так как  $u^\circ / v^\circ \sim 1/k$  — очень большая величина, то знаку плюс должен был бы соответствовать почти прямой скачок уплотнения, расположенный почти перпендикулярно к верхней стенке канала. Это не имеет физического смысла при рассмотрении задачи об ускорении плазмы сильными электромагнитными полями. Поэтому в равенстве (3.6) следует брать знак минус. Ограничиваясь членами порядка  $k$ , из (3.6) и (3.4) найдем

$$\operatorname{tg} \alpha = (\kappa - 1)v^\circ / 2u^\circ, \quad u^1 = u_\tau^1 = u_\tau^\circ = u^\circ \quad (3.7)$$

Уравнения (3.2) и (3.7) позволяют определить параметры плазмы за скачком уплотнения по известным значениям параметров перед скачком, а также угол наклона скачка. Линии тока за скачком с принятой степенью точности — прямые, параллельные стенке канала (так как  $v^1 = 0$ ). Поэтому уравнения неразрывности и движения за скачком принимают вид

$$(\rho u)_x' = 0, \quad \rho u u_x' = H j_y / c \quad (3.8)$$

Интегрируя первое уравнение и учитывая (3.2) и (3.7), получаем

$$\rho u = \rho^1 u^1 = [(\kappa + 1) / (\kappa - 1)] \rho^\circ u^\circ$$

В этом равенстве  $\rho^\circ$  и  $u^\circ$  — значения плотности и скорости в ядре потока перед скачком в том месте, где рассматриваемая линия тока пересекает скачок уплотнения. Разлагая  $\rho^\circ$  и  $u^\circ$  в ряд по степеням  $k$  и учитывая равенства (2.5) и (2.7), получим с точностью до членов порядка  $k^2$

$$\rho^\circ u^\circ = \rho_{00} u_{00}, \quad \rho u = [(\kappa + 1) / (\kappa - 1)] \rho_{00} u_{00} \quad (3.9)$$

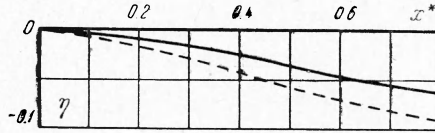
Заметим теперь, что во втором уравнении (3.8) ток  $j_y$  с точностью до членов порядка  $k^2$  является известной величиной, вычисляемой по параметрам течения в ядре потока. Действительно, из уравнения непрерывности электрического тока имеем для  $j_y$  за скачком

$$j_y = j_y^1 - \int_{y^1}^y \frac{\partial j_x}{\partial x} dy \quad (3.10)$$

где  $j_y^1$  — значение  $j_y$  при  $y = y^1$ .

Но из (1.1) следует, что  $\partial j_x / \partial x$  имеет порядок  $k$ , а так как интервал интегрирования за скачком также порядка  $k$ , то интеграл в правой части (3.10) будет порядка  $k^2$ , и с принятой степенью точности можно считать  $j_y = j_y^1$ . Учитывая это, а также (3.9), найдем, интегрируя второе уравнение (3.8), скорость потока в зоне течения за скачком уплотнения

$$u = u^1 + \frac{\kappa - 1}{(\kappa + 1) \rho_{00} u_{00}} \int_{x^1}^x H j_y dx \quad (3.11)$$



Фиг. 5

Формулы (3.7), (3.9), (3.11) дают распределение параметров течения за скачком и угол наклона скачка при произвольной зависимости напряженности магнитного поля  $H$  и разности потенциалов  $\phi$  от  $x$ . В том случае, когда  $H$  и  $\phi$  постоянны, из первого уравнения (3.7) легко получаем форму скачка уплотнения, так как  $dy^1/dx = -\operatorname{tg} \alpha$ . Подставляя  $u^\circ$  и  $v^\circ$  из (2.11) в (3.7), отбрасывая члены порядка  $k^2$  и интегрируя по  $x$ , получаем

$$y^{1*} = y_0^* - k \frac{\kappa - 1}{2} U \int_0^{x^*} \frac{x^* dx^*}{(1 + U) e^{x^*} - U}, \quad x^* = \frac{\lambda x}{L}, \quad y^* = \frac{\lambda y}{L} \quad (3.12)$$

Форма скачка, вычисленная по (3.12), показана на фиг. 5, где

$$\eta = \frac{2}{(\kappa - 1) k} (y^{1*} - y_0^*)$$

Сплошная кривая для  $U = 3$ , пунктирная для  $U = 8$ .

Подставляя в (1.2) значения  $E$  и  $u$  из (2.11) и отбрасывая члены порядка  $k^2$ , найдем для плотности тока  $j_y$  за скачком уплотнения

$$j_y = (\sigma H u_{00} / c) U e^{-x^*} [1 - 0.5 k y^* (2 - x^*)]$$

Используя это выражение  $j_y$ , теперь из (3.11) определим скорость

$$u(x^*, y^*) / u_{00} = 1 + U(1 - e^{-x^*}) - [2 / (\kappa + 1)] U [e^{-x^*(y)} - e^{-x^*}] + 0.5 k U \times \\ \times y^* \{-1 + (1 - x^*) e^{-x^*} - [2 / (\kappa + 1)] [(1 - x^*) e^{-x^*} + (1 - x^{1*}) e^{-x^{1*}(y)}]\}$$

где  $x^{1*}(y)$  — то значение  $x$ , при котором линия тока  $y = \text{const}$  пересекает скачок уплотнения. Это значение  $x^*(y)$  вычисляется по формуле (3.12). При помощи (2.11) можно преобразовать формулу для скорости за скачком к виду

$$u(x, y) = u[x, y^1(x)] - \\ - [2 / (\kappa + 1)] \{u[x, y^1(x)] - \\ - u[x^1(y), y]\} \quad (3.13)$$

Отсюда скорость на какой-либо линии тока за скачком меньше скорости в ядре потока перед скачком на разность между скоростями в ядре

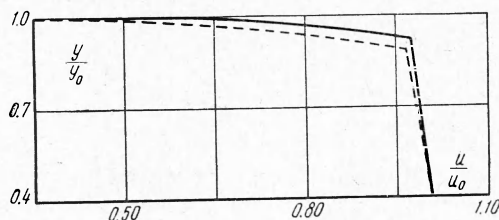
потока перед скачком в рассматриваемом сечении канала и сечении, где линия тока пересекла скачок уплотнения, умноженную на  $2 / (\kappa + 1)$ .

На фиг. 6 показан профиль проекции  $u$  скорости на ось  $x$ , вычисленный для ядра потока по формуле (2.11) и за скачком уплотнения по формуле (3.13). Кривые соответствуют значениям параметров  $x^* = 1$ ,  $k = 0.2$ ,  $y_0^* = 0.3$ ,  $\kappa = 5/3$ ,  $U = 3$  (сплошная линия) и  $U = 8$  (пунктирная линия). По оси абсцисс отложено отношение скорости  $u$  в данной точке к скорости  $u_0$  на оси канала, по оси ординат отношение координаты  $y$  к ширине канала  $y_0$ . Точка излома кривых соответствует координате скачка уплотнения в рассматриваемом сечении канала ( $x^* = 1$ ).

Поступила 30 IX 1964

#### ЛИТЕРАТУРА

1. Морозов А. И., Соловьев Л. С. Плоские течения идеально проводящей сжимаемой жидкости при учете эффекта Холла. Ж. техн. физ., 1964, т. 34, № 7.
2. Oates J. C. Hall Current and Inlet Disturbances in Constant Area Channel Flows. AIAA Journal, 1963, No. 12.
3. Куликовски й Л. Г., Любимов Г. А. Магнитная гидродинамика. Физматгиз, 1962.
4. Черны й Г. Г. Течения газа с большой сверхзвуковой скоростью. Физматгиз, 1959.



Фиг. 6